

УДК 539.2; 539.16.04

©1995

ИЗУЧЕНИЕ ДИНАМИКИ СУБМИКРОДЕФЕКТОВ НА ПОВЕРХНОСТИ НАГРУЖЕННОЙ МЕДИ ПРИ ПОМОЩИ ТУННЕЛЬНОГО ПРОФИЛОМЕТРА

В.И. Веттегренъ, С.Ш. Рахимов, В.Н. Светлов

Физико-технический институт им. А.Ф Иоффе Российской академии наук,
194021, Санкт-Петербург, Россия

(Поступила в Редакцию 26 декабря 1994 г.

В окончательной редакции 31 марта 1995 г.)

Обнаружено, что на поверхности меди под нагрузкой образуются дефекты, имеющие вид пирамидальных ямок. Линейные размеры дефектов составляют несколько десятков нм и остаются неизменными, пока их концентрация не достигает предельного значения N_{cr} . Затем число таких дефектов начинает уменьшаться за счет образования новых более крупных дефектов. С момента нагружения и до разрыва образца этот процесс повторяется несколько раз. Предположено, что скачкообразное увеличение размеров дефектов объясняется резким увеличением взаимодействия между ними при предельных значениях концентрации.

В предыдущей работе [1] при помощи сканирующего туннельного профилометра было обнаружено, что на поликристаллической поверхности ряда металлов (Au, Mo, Pd, Cu, W) под грузом образуются субмикродефекты, имеющие форму пирамидальных ямок и линейные размеры — от нескольких десятков до нескольких сотен нм.

В данной работе будут рассмотрены результаты изучения эволюции таких дефектов на поверхности образцов меди под нагрузкой.

1. Методика эксперимента

Для изучения поверхности использовали растровый туннельный профилометр РТП-1, разработанный в НИИ Физики СПбГТУ и изготовленный производственным кооперативом «Эра» [2]. Для обеспечения стабильности непрерывной работы профилометра в течение длительного времени (до 50 суток) была разработана новая конструкция манипулятора точного перемещения острия (см. подробно в [1]).

Измерительные острия изготавливались из вольфрамовой проволоки диаметром ≈ 0.6 мкм путем электрохимического травления в растворе NaOH [1], их качество контролировалось при помощи оптического микроскопа. Контроль разрешения и воспроизводимости профиля поверхности осуществлялся при помощи дифракционной решетки на арсениде галлия, на поверхность которого был нанесен тонкий слой золота [1].

Образцы толщиной 60 μm вырубали при помощи фигурных ножей из заводской холодно катанной меди чистотой (99.96%) вдоль направления прокатки. Чтобы локализовать место разрушения, на краях образцов шириной 6 mm при помощи специальных ножей делали полу-круглые вырезы, радиус которых составлял $\simeq 1.5$ mm. Длина рабочей части образца составляла $\simeq 12$ mm. Нагружение образцов производили при помощи пружинного устройства, описанного в работе [1].

В использованной конструкции профилометра измерительное острие способно перемещаться в направлении, перпендикулярном изучаемой поверхности, не более чем на 1 μm . Чтобы удалить микронеровности поверхности, превышающие 1 μm , перед измерением прокатанные полоски полировались при помощи пасты ГОИ до зеркального блеска. Для удаления остатков пасты после полировки и очистки образца от примесей поверхность тщательно промывали в ацетоне и спирте.

Химическое строение поверхности образцов до и после измерения контролировалось при помощи оже-спектроскопии на спектрометре LH-10. Измерения показали, что поверхность меди была покрыта слоем окисла CuO толщиной $\simeq 2$ nm.

2. Результаты измерений

Эволюция топографии поверхности меди под нагрузкой. На рис. 1 показана поверхность образца меди через $\simeq 1$ hour после приложения нагрузки 400 MPa. На ней виден рельеф в виде размытых канавок, которые были образованы процессе механической полировки образца. Крупный дефект (A) в центре рис. 1 — след измерительного острия, нанесенный путем мягкого укачивания поверхности. При дальнейшей записи дефект оставался в поле зрения микроскопа вплоть до окончания эксперимента. Мелкие дефекты (B) — «ямки», которые появились на поверхности меди в течение 1 hour после нагружения образца.

Строение одного из типичных дефектов видно из фрагмента записи поверхности с увеличением $\simeq 67 \times 10^4$, показанным на рис. 2. Одна из его стенок высотой 15 nm составляет угол $\simeq 90^\circ$ по отношению к плоскости поверхности образца и приложенной силе. Противоположная стенка наклонена под углом $\simeq 30^\circ$ к поверхности и имеет длину $\simeq 50$ nm. Две других стенки приблизительно параллельны друг другу и перпендикулярны поверхности.

В течение времени $\Delta t_1 \simeq 21$ hours после нагружения концентрация N таких дефектов нарастает до предельной величины $N_{cr}^1 \simeq 2.2 \mu\text{m}^{-2}$ (см. рис. 3). Рассматривая рис. 4, можно видеть, что в этот момент времени дефекты плотно усеивают поверхность образца, образуя структуры, имеющие вид трещин, длина которых $\simeq 400$ nm, а ширина $\simeq 50$ nm. Среднее расстояние между ними составляет $\simeq 500$ nm.

На рис. 5 приведена плотность функции распределения дефектов по глубине, полученная при обработке топограмм. Наиболее интенсивный максимум соответствует $\simeq 15$ nm. Несмотря на то что разброс высоты пиков при обработке 5 топограмм составил $\simeq 10\%$, видна слабая асимметрия функции плотности, которая позволяет выявить еще один максимум при $\simeq 50$ nm.

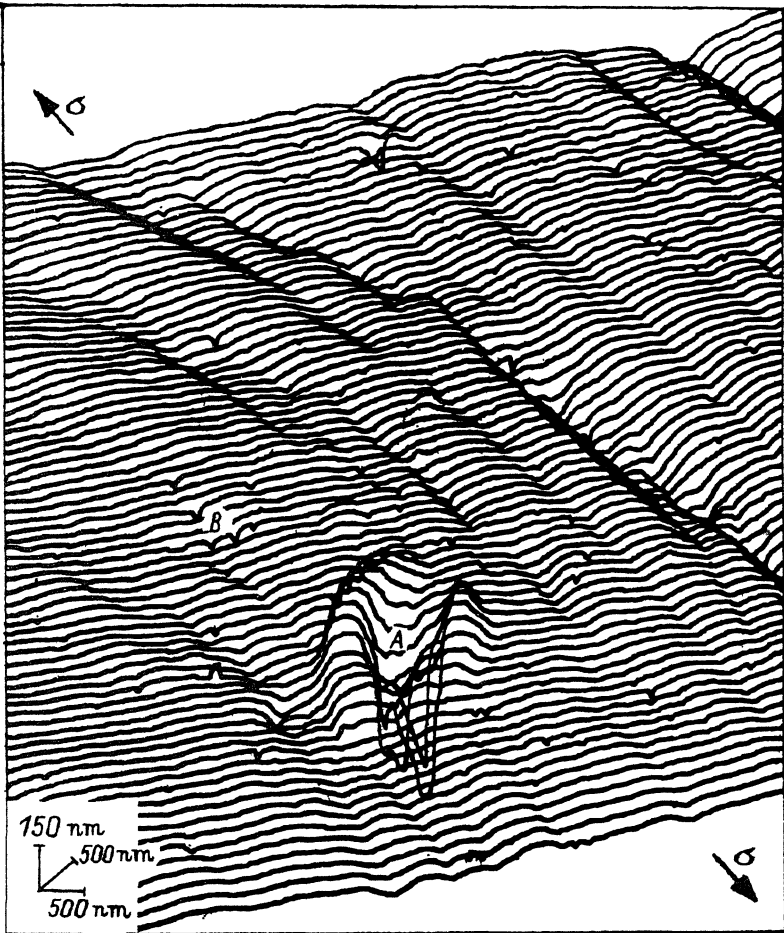


Рис. 1. Топограмма поверхности меди через 1 h после приложения нагрузки 400 MPa.

A — дефект, нанесенный на поверхность иглой профилометра, *B* — дефекты, образовавшиеся под нагрузкой.

При времени $t > \Delta t_1$ концентрация дефектов, глубина которых составляет 15 nm, начинает уменьшаться (рис. 3), но одновременно увеличивается концентрация «более крупных», глубиной ≈ 50 nm. Этот процесс продолжается, пока концентрация «крупных» дефектов в течение $\Delta t_2 \approx 22$ hours нарастает до нового предельного значения $N_{cr}^2 \approx 1.7 \mu\text{m}^{-2}$ (рис. 3). В этот момент времени дефекты также образуют структуры типа трещин (рис. 6), расположенных под углом $\approx 90^\circ$ к направлению внешней силы. Расстояние между трещинами составляет ≈ 720 nm, их длина ≈ 1 μm , ширина ≈ 150 nm.

С течением времени этот процесс повторяется несколько раз. А именно: концентрация дефектов одного размера со временем достигает максимума, а затем уменьшается за счет рождения новых «более крупных» дефектов (см. рис. 3).

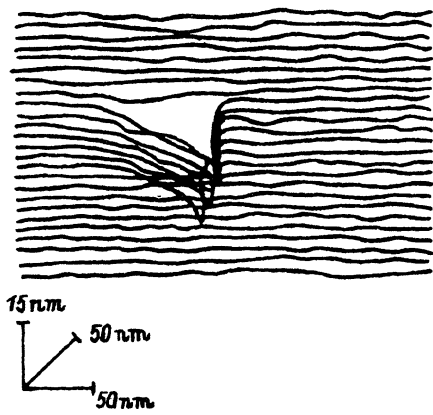


Рис. 2. Фрагмент записи топограммы поверхности с типичным дефектом из образовавшихся на поверхности меди через 1 h под нагрузкой 400 MPa.

Масштаб по различным осям указан внизу рисунка, интервал между двумя ближайшими линиями ≈ 5 нм.

На рис. 7 показана плотность функции распределения дефектов по «глубине», полученная путем обработки 5 топограмм приблизительно за 20 hours до момента разрушения образца. (Разброс высоты пиков составил $\approx 10\%$). Видно, что дефекты «глубиной» 15 nm практически исчезли. Одновременно увеличилась концентрация «крупных» дефектов — «глубиной» 140, 270, 400 и 540 nm.

Обработка других топограмм позволила выявить еще ряд максимумов в функции распределения дефектов по глубине $N(H)$, значения которых приведены в таблице.

Форма, которую приобретают дефекты за $\approx 10 \div 15$ hours перед разрушением, видна из фрагмента топограммы поверхности с увеличением $\approx 67 \times 10^3$, показанного на рис. 8. Видно, что независимо от размера одна из стенок дефектов остается перпендикулярной поверхности и направлению внешней силы, а противоположная — составляет острый угол с поверхностью. Размер дефектов вдоль поверхности пер-

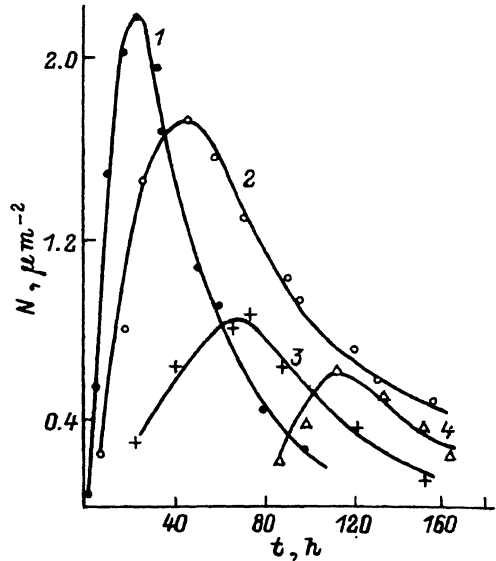


Рис. 3. Зависимости концентрации дефектов на поверхности меди глубиной 15 (1), 45 (2), 140 (3), 230 nm (4) от времени под нагрузкой 400 MPa.

Наиболее вероятные размеры дефектов
«по глубине» H , образующиеся на
поверхности меди под нагрузкой

H , nm	Q	H , nm	Q
15	1	180	12
45	3	230	15
90	6	270	18
140	9	320	21

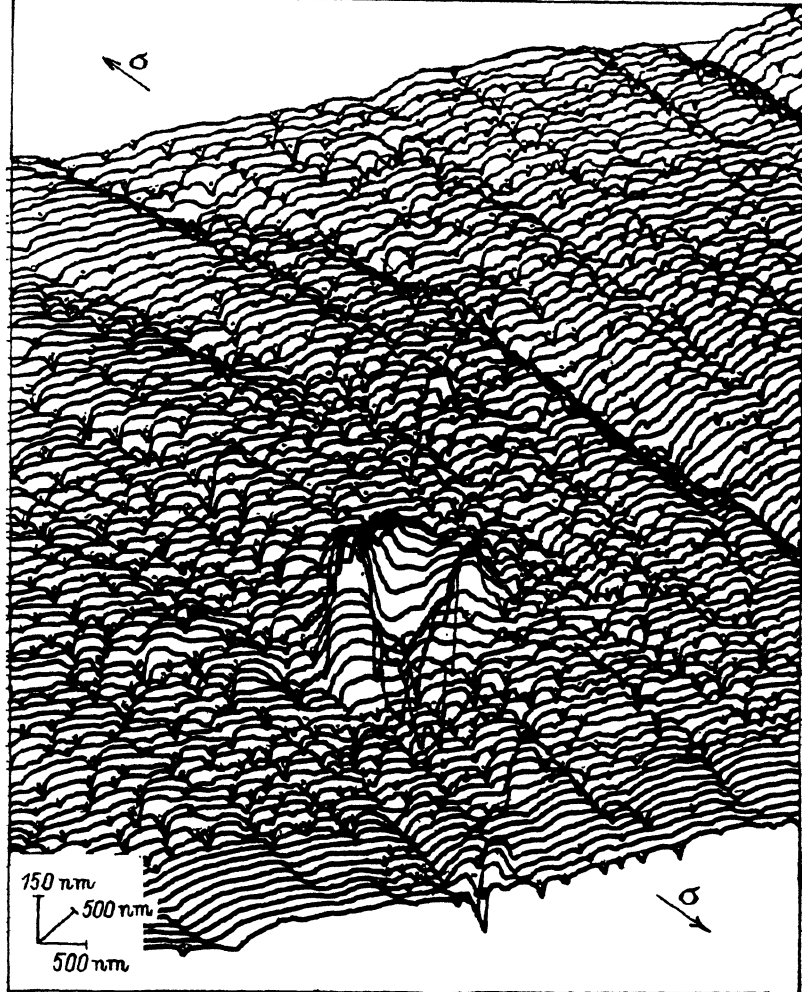


Рис. 4. Топограмма поверхности меди через 21 h после приложения нагрузки 400 MPa.

пендикулярно приложенной силе с течением времени увеличивается, в результате чего они образуют структуры, похожие на микротрешины (рис. 8) или сплошные ряды, имеющие вид линий скольжения (рис. 9).

Чтобы исследовать кинетику изменения линейных размеров по «глубине» и «ширине», последовательно, через каждые 40 s записывали топограмму поверхности нагруженных образцов в одном из выбранных сечений поверхности.

Зависимости «глубины» и «ширины» дефектов от времени показаны на рис. 10. Они имеют вид «скачкообразных» кривых: в течение длительного времени линейные размеры дефекта изменяются слабо, а затем за короткий промежуток времени увеличиваются на несколько десятков—сотен μm . Сопоставляя рис. 3 и 10 можно видеть, что дефекты начинают укрупняться в моменты времени Δt_1 , когда их концентрация достигает максимальных значений N_{cr}^1 .

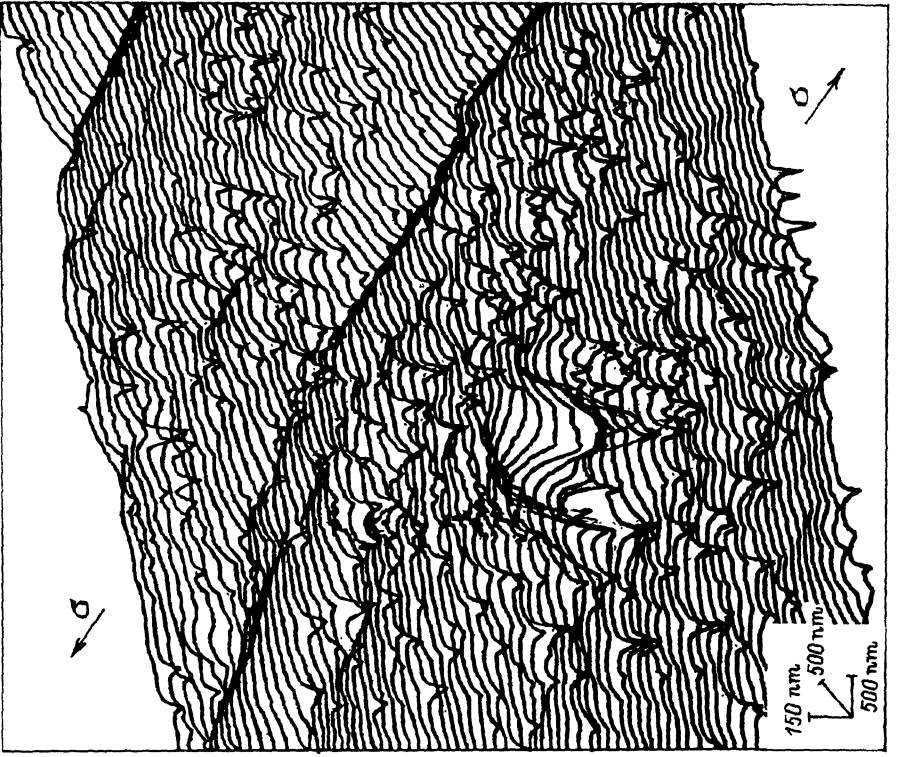


Рис. 6. Топограмма поверхности меди через 43 ч после приложения нагрузки 400 МПа.

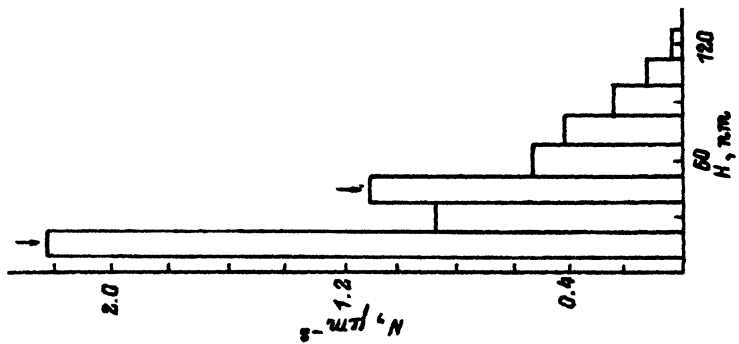


Рис. 5. Плотность функции распределения дефектов N по глубине H через 21 ч после приложения нагрузки 400 МПа (время до разрушения 170 ч). Стрелками указаны максимумы функции распределения $N(H)$.

3. Обсуждение результатов

Существование ряда максимумов в плотности функции распределения дефектов по размерам (см. рис. 5 и 7) и скачкообразный характер их роста (рис. 10) показывают, что множество дефектов, образующихся на поверхности нагруженной меди, может рассматриваться как иерархическая система, количество уровней или рангов которой растет с течением времени. Так, например, в течение времени Δt_1 после нагружения поверхность находится в пределах первого уровня: на ней образуются дефекты глубиной $\approx 15 \text{ nm}$ с линейными размерами вдоль поверхности $\approx 50 \times 50 \text{ nm}$. Когда их концентрация достигнет предельного значения N_{cr}^1 , дефекты начинают укрупняться. В течение следующего интервала Δt_2 поверхность эволюционирует в рамках второго уровня: на ней зарождаются преимущественно дефекты глубиной $\approx 50 \text{ nm}$ с размерами вдоль поверхности $\approx 150 \text{ nm}$. Когда их концентрация достигнет нового предельного значения N_{cr}^2 , система дефектов переходит на третий уровень и т. д.

В этой связи интересно отметить, что размеры наиболее вероятных дефектов по глубине H относятся между собой как $15 \times 3Q \text{ nm}$, где Q — целое число (см. таблицу). Напомним также, что форма дефектов в сечении, параллельном приложенной силе, сохраняется независимо от их линейных размеров. Эти результаты показывают, что дефект глубиной 15 nm является основным элементом, из которого путем сложения образуются остальные устойчивые дефекты.

В ряде экспериментальных [3–5] и теоретических [6,7] работ было показано, что множество трещин в нагруженных твердых телах представляют собой иерархическую систему с большим числом уровней. Оказалось, что когда в объеме нагруженного тела концентрация трещин какого-либо ранга достигала критического значения C_{cr} , такого, что $R/r \approx e$, где R — среднее расстояние между трещинами, r — их средний размер, а e — основание натуральных логарифмов, они начинают укрупняться и система трещин переходит на следующий уровень эволюции. Этот эффект был объяснен быстрым ростом вероятности слияния трещин при концентрации $C \approx C_{cr}$.

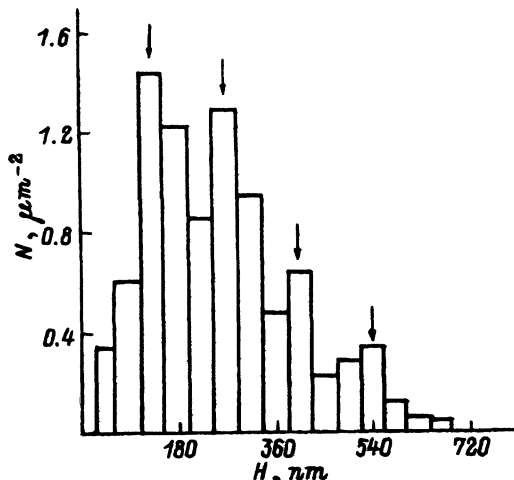


Рис. 7. Плотность функции распределения дефектов по «глубине» через 150 h после нагружения (время до разрушения 170 h). Стрелками указаны максимумы функции распределения $N(H)$.

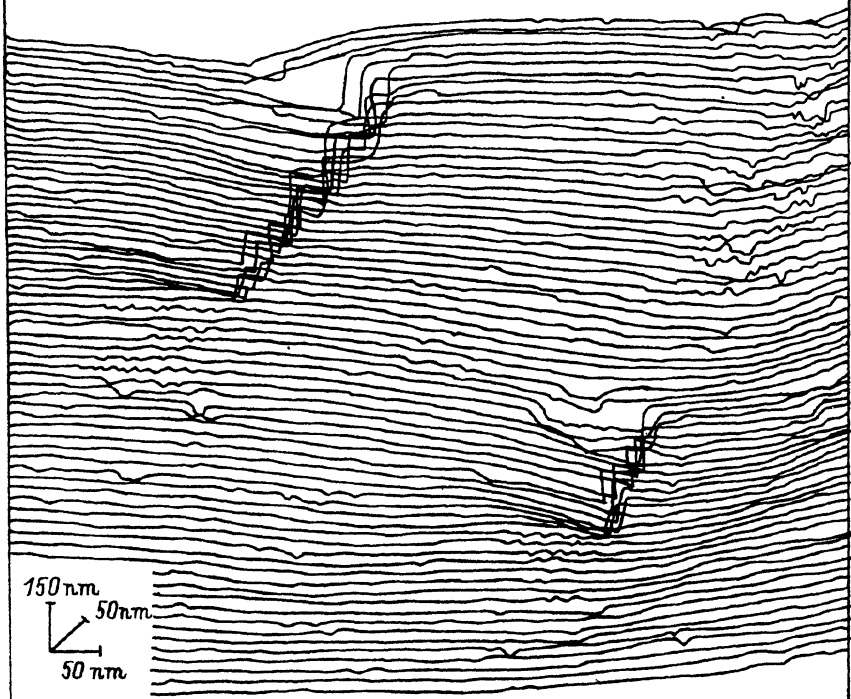


Рис. 8. Структуры на поверхности нагруженной меди, образовавшиеся через 160 h (\approx за 10 h перед разрушением) после приложения нагрузки 400 MPa.

Нами были сопоставлены средние расстояния между дефектами L с их средним размером l вдоль поверхности. Оказалось, что в моменты, когда достигается предельная концентрация дефектов N_{cr} , расстояние L становится приблизительно равным их размеру $l/L \simeq 1$. Этот результат может быть объяснен быстрым ростом коллективных взаимодействий между дефектами при приближении к предельной концентрации N_{cr} , которое и обуславливает их укрупнение.

Интересно было выяснить: не вызвано ли укрупнение дефектов их слиянием? С этой целью были проведены исследования эволюции дефектов, которые располагаются рядом — на расстояниях, приблизительно равных их линейному размеру вдоль оси X (параллельно приложенной силе). Анализ показал, что слияние дефектов в этом направлении, как правило, не наблюдается. Отсутствует также корреляция эволюции формы дефектов в этом направлении. Слияние происходит, как правило, вдоль поверхности в направлении, перпендикулярном приложенной силе. В результате чего дефекты образуют структуры типа трещин (см. рис. 8) или структуры, напоминающие линии скольжения. Особенно четко такие субмикронные и микронные структуры фиксируются в моменты, когда концентрация дефектов какого либо размера приближается к предельному значению N_{cr} .

«Длина» структур, напоминающих линии скольжения (рис. 9), часто выходила за пределы максимального поля наблюдения (10 μm). Оказалось, что расстояние между линиями зависит от величины на-

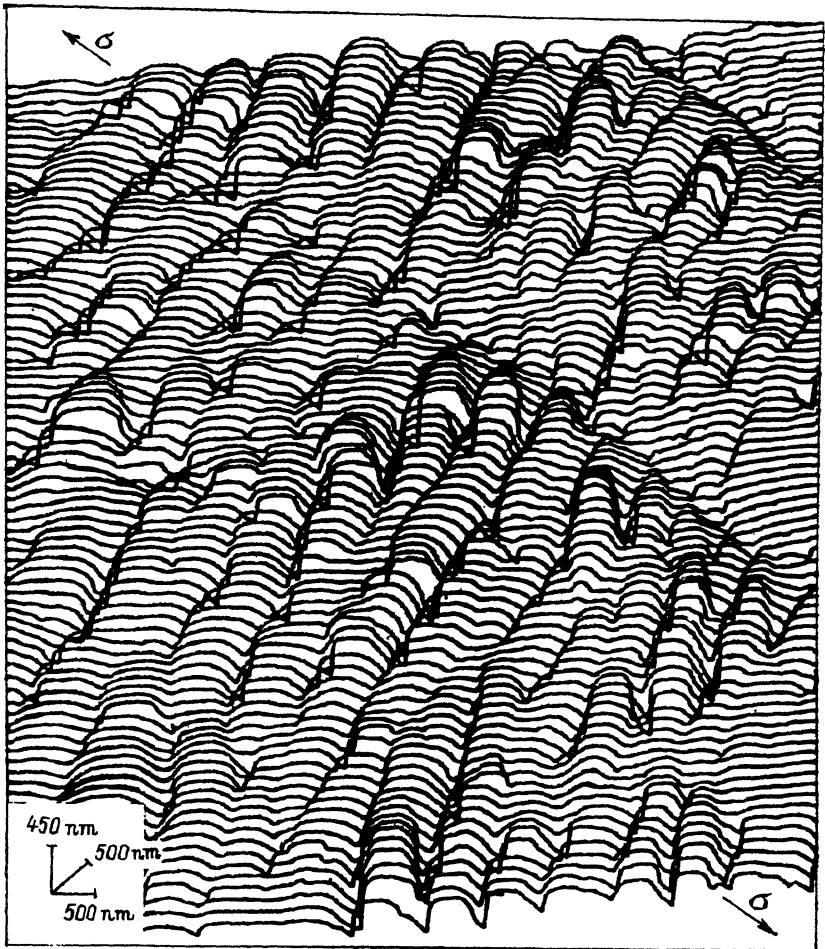


Рис. 9. Структуры на поверхности меди, напоминающие линии скольжения и образующиеся перед разрушением образца под нагрузкой.

Показана топограмма одного из образцов под нагрузкой ≈ 400 МПа за 10 h перед разрушением.

грузки: при ее увеличении от 300 до 400 МПа расстояние между линиями уменьшилось от ≈ 3 до 1 $\mu\text{м}$. Как известно из литературы [8], расстояние между линиями скольжения увеличивается при уменьшении приложенной нагрузки. По нашему мнению, эти результаты позволяют утверждать, что линии скольжения на поверхности полированной меди образуются при эволюции (укрупнении и слиянии) обнаруженных нами дефектов.

Таким образом, в данной работе установлено, что на поверхности полированной меди под нагрузкой образуются дефекты, имеющие вид перевернутых пирамид с линейными размерами около десяти $\mu\text{м}$. С течением времени концентрация таких дефектов растет, а их размеры увеличиваются до нескольких сотен $\mu\text{м}$. Этот процесс имеет ярко выраженный иерархический характер: размеры дефектов остаются неизменными, пока их концентрация не достигает критических значений,

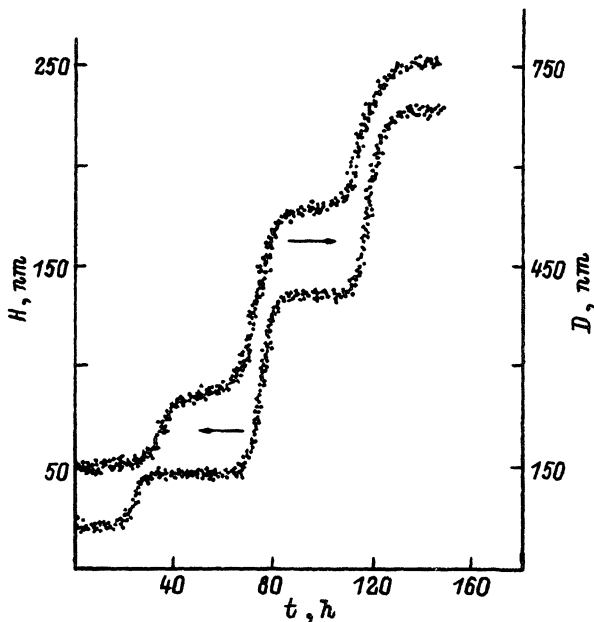


Рис. 10. Зависимость «глубины» H и «ширины» D дефекта на поверхности меди под нагрузкой 400 МПа от времени.
Интервал между экспериментальными точками ≈ 40 с.

затем размеры быстро увеличиваются и процесс накопления начинается вновь. При слиянии дефектов образуются структуры, напоминающие микротрешины и линии скольжения.

Список литературы

- [1] Веттегрен В.И., Рахимов С.Ш., Светлов В.Н. ФТТ **37**, 4 913 (1995).
- [2] Адамчук В.К. ПТЭ **5**, 182 (1989).
- [3] Тамуж В.П., Куксенко В.С. Микромеханика разрушения полимерных материалов. Рига (1978). 376 с.
- [4] Черемской П.Г., Слезов В.В., Бетехтин В.И. Поры в твердом теле. М. (1990). 376 с.
- [5] Томилин В.Г. Тез. докл. 1 Междунар. конф. «Актуальные проблемы прочности» Ред. В.А.Лихачев. Новгород (1994). Ч. 2. С. 127.
- [6] Куксенко В.С., Томилин Н.Г., Дамаскинская Е.Е. Изв. РАН. Физика земли, **10**, 1 (1994).
- [7] Куксенко В.С., Томилин Н.Г., Дамаскинская Е.Е. Изв. РАН. Физика земли, **9**, 1 (1994).
- [8] Новиков И.И., Портной В.К., Ильинко В.М., Левченко В.С. ФММ **60**, 180 (1985).